

*М. Б. Зельман, И. И. Масленникова*

## ГЕНЕРАЦИЯ СПЕКТРА ПУЛЬСАЦИЙ ПРИ СУБГАРМОНИЧЕСКОМ ПЕРЕХОДЕ В ПОГРАНИЧНЫХ СЛОЯХ

Как показано в [1—5], при малых начальных интенсивностях возмущений в пограничном слое универсально осуществляется *s*-тип ламинарно-турбулентного перехода. Существенные черты режима находят объяснение в рамках нелинейной теории устойчивости [6]. Ведущую роль играет механизм резонансного взаимодействия волн Толлмина — Шлихтинга (Т — Ш), который на начальной стадии приводит к селекции из фоновых пульсаций пары трехмерных волн [7]. Параметры последних (частота  $\omega$  и волновые векторы  $(\alpha, \pm\beta)$ ) соответствуют максимуму скорости параметрического усиления в поле вводимого двумерного возмущения Т — Ш с  $\omega_0 = 2\omega$  и  $(\alpha_0, 0)$ . Выделенная симметричная триада образует фундаментальную структуру *s*-перехода. При выравнивании интенсивностей компонент триады параметрическая стадия трансформируется в нелинейную, на которой имеет место взрывное усиление всех взаимодействующих волн. Согласно экспериментам [2, 4, 5], выход на взрывной режим сопровождается быстрым уширением низкочастотной (НЧ) части спектра пространственных пульсаций. В дальнейшем отмечается стабилизация уровня амплитуд и турбулизация движения.

Из теории нелинейных систем известна тесная связь процессов стохастизации с механизмом заполнения спектра при ограничении роста колебаний. Предполагалось, что такие процессы в пограничном слое могут реализоваться вследствие резонансной каскадной передачи энергии по спектру в область сильно диссилирующих НЧ «существенно» трехмерных волн.

В данной работе изучаются возможность и следствия резонансной каскадной трансформации спектра. Механизм заполнения спектра анализируется в сопоставлении с экспериментами.

Рассмотрим каскадный процесс возбуждения фоновых пульсаций  $\omega_n = \omega_0/2^n$  ( $n = 1, 2, \dots$ ) в поле задающего колебания  $\omega_0$ . Модель включает систему волн: плоскую индуцированную с параметрами  $(\omega_0, \alpha_0, 0)$  амплитуды  $A_0$ , пару симметричных субгармоник  $(\omega_0/2, \alpha_1, \pm\beta_1)$   $A_1$  и две пары вторых субгармоник  $(\omega_0/4, \alpha_2, \pm\beta_2)$   $A_2$  и  $(\omega_0/4, \alpha_3, \pm\beta_3)$   $A_3$ . Возмущение поля скорости потока  $eu = e(u_1, u_2, u_3)$  можно представить как

$$u(x, y, z, t) = \sum_{j=0}^m B_j u_j \exp i\theta_j(x, z, t) + \varepsilon \Psi(x, y, z, t),$$

где  $\theta_j = -\omega_j t + \beta_j z + \int_{-\infty}^y \alpha_j dx$ ,  $u_j(y) (\max_{0 \leq y < \infty} |u_j| = 1)$  и дисперсионное соотношение  $\omega_j + i\gamma_j = \Omega(\alpha_j, \beta_j)$  определяются локально-параллельной задачей Оппа — Зоммерфельда [8];  $\Psi$  — квазипериодическая по  $(x, z, t)$ -переменным функция; параметр  $\varepsilon \ll 1$ . В условиях стационарности и трансверсальной однородности система уравнений для комплексных амплитуд  $A_j = B_j e^{\gamma_j t}$  принимает вид

$$(1) \quad \begin{aligned} (v_0 d/dx - \gamma_0) A_0 &= S A_1^2 e^{-i \int \Delta_0 dx}, \\ (v_1 d/dx - \gamma_1) A_1 &= S_0 A_1 A_1^* e^{i \int \Delta_0 dx} + C_1 a_2^2 e^{-i \int \Delta_1 dx} + \\ &\quad + C_2 a_3^2 e^{-i \int \Delta_2 dx} + C_3 a_2 a_3 e^{-i \int \Delta_3 dx}, \\ (v_{2,3} d/dx - \gamma_{2,3} - i w_{2,3} \delta_{2,3}) a_{2,3} &= S_{2,3} A_1 a_{2,3}^* e^{i \int \Delta_{1,2} dx} + D_{2,3} A_1 a_{3,2}^* e^{i \int \Delta_3 dx}. \end{aligned}$$

Здесь  $\delta_{2,3} = \alpha_1/2 - \beta_{2,3}$ ;  $\Delta_0 = \alpha_0 - 2\alpha_1$ ;  $\Delta_1 = \alpha_1 - 2\alpha_2$ ;  $\Delta_2 = \alpha_1 - 2\alpha_3$ ;  $\Delta_3 = \alpha_1 - \alpha_2 - \alpha_3$ ; проведена замена  $A_{2,3} = a_{2,3} e^{i \int \omega_{2,3} dz}$ . Коэф-

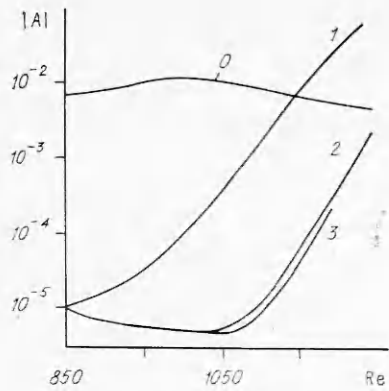


Рис. 1

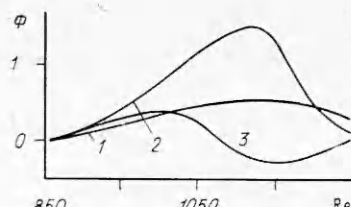


Рис. 2

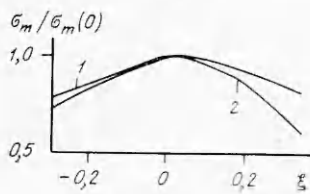


Рис. 3

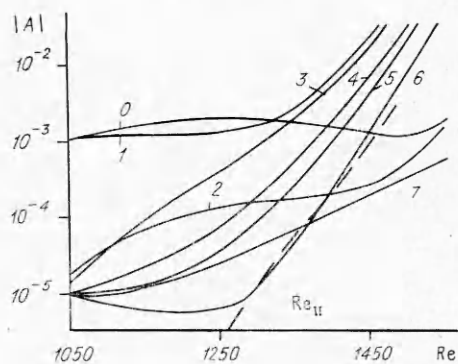


Рис. 4

фициенты  $v, w, S, C, D$  строятся из решений однородного и неоднородного уравнений Оппа — Зоммерфельда для профиля Блазиуса [6].

Исследуется поведение системы (1) для различных  $\beta_2, \beta_3$ , при этом  $\beta_1$  выбрано в области максимальных параметрических инкрементов ( $\beta_1/\alpha_1 \approx 2$ ) [7]. На рис. 1 представлена эволюция  $|A_j(Re)|$  (здесь и далее номер кривой соответствует индексу волны) при  $F_0 = \omega_0 Re = 122 \cdot 10^{-6}$ ,  $b_2 = (\beta_2/Re) \cdot 10^3 = 0,217$ ,  $b_3 = 0,254$ ,  $Re$  определено по толщине вытеснения. Наблюдается параметрический рост первой  $\omega_0/2$  и второй  $\omega_0/4$  субгармоник. При этом вторая субгармоника находится вне синхронизма с двумерной волной Т — III частоты  $\omega_0$  и накачивается трехмерной  $\omega_0/2$ . В рассматриваемом диапазоне  $Re$  волны частоты  $\omega_n$  ( $n > 1$ ) находятся в зоне линейного затухания. С увеличением  $n$  декременты растут. Это приводит к проявлению порогового характера резонансной накачки НЧ-волн: волна частоты  $\omega_{n+1}$  параметрически усиливается лишь после достижения амплитудой  $n$ -й волны надпорогового значения. Как показали расчеты, с увеличением  $n$  растет отношение  $(\beta/\alpha)_{2,3}$ , отвечающее максимальным параметрическим инкрементам (кривые 2, 3 соответствуют  $\beta_2/\alpha_2 = 2,8$ ,  $\beta_3/\alpha_3 = 3,44$  в начальной точке).

Таким образом, осуществляется каскадный процесс последовательного возбуждения всех «более трехмерных» субгармоник. Взаимодействие носит взрывной характер, фазы ( $\varphi_j = \arg A_j$ )  $\Phi_1 = \varphi_0 - 2\varphi_1 + \int \Delta_1 dx$ ,  $\Phi_2 = \varphi_1 - 2\varphi_2 + \int \Delta_2 dx$ ,  $\Phi_3 = \varphi_2 - 2\varphi_3 + \int \Delta_3 dx$  (рис. 2, кривые 1—3) синхронизуются. Стабилизации роста в каскадном процессе не происходит.

Сценарий перехода к турбулентности в пограничном слое через удвоение периода наблюдался в эксперименте [5]. Отмечены последовательное возбуждение трех субгармоник  $\omega_0/2, \omega_0/4, \omega_0/8$  с уширением и заполнением НЧ-полосы спектра и дальнейшая трансформация его в сплошной. Уширение и заполнение НЧ-спектра могут происходить вследствие параметрического взаимодействия в несимметричных триплетах, когда  $\omega_{k,l} \neq \omega_0/2$ . При этом особенно эффективное взаимодействие сохраняется при синхронизме частот  $\omega_k + \omega_l = \omega_0$ . Примеры взаимодействий в таких конфигурациях в условиях, когда они формируют доминирующую структуру поля возмущений, приведены в [9]. Остановимся на этом подробнее.

Исследована зависимость инкрементов нарастания НЧ-возмущений  $\sigma_{k,l} = \frac{1}{|A_{k,l}|} \frac{d|A_{k,l}|}{dx}$  от частотных параметров  $\omega_k$ ,  $\omega_l$ . Для удобства введена величина  $+\xi = \frac{\omega_0/2 - \omega_{k,l}}{\omega_0/2}$ , характеризующая частотную отстройку от субгармонического триплета. Модель включает основную волну  $(\omega_0, \alpha_0, 0)$  и трехмерные пары волн  $(\omega_1, \alpha_1, \pm\beta_1)$ ,  $(\omega_2, \alpha_2, \pm\beta_2)$  фоновой интенсивности, где  $\omega_{1,2} = (\omega_0/2)(1 - \xi)$ . Система амплитудных уравнений для этого случая ( $m = 5$ ) с учетом перекрестных связей дана в [9]. Для фиксированных  $\omega_0$ ,  $|\xi|$  инкременты  $\sigma_{1,2}$  зависят от начальной амплитуды волны накачки  $|A_0(\text{Re}_0)|$  и параметров  $\beta_1$ ,  $\beta_2$ . Проведенные расчеты инкрементов  $\sigma_{1,2}$  для различных ориентаций волновых векторов  $(\beta/\alpha)_{1,2}$  показали, что аналогично субгармоническому триплету [7] инкремент  $\sigma_{1,2}$  имеет максимум при некоторых  $(\beta_1^+, \beta_2^+)$ :  $\sigma_m(|A_0|, \xi) = \sigma_{1,2}(\beta_1^+, \beta_2^+, |A_0|, \xi)$ . Зависимость  $\sigma_m(\xi)/\sigma_m(0)$  приведена на рис. 3 для  $|A_0(\text{Re}_{II})| = 0,67$ ; 0,5 % (кривые 1 и 2,  $\text{Re}_{II}$  — число Рейнольдса на верхней ветви кривой нейтральной устойчивости) и  $F_0 = 115 \cdot 10^{-6}$ . Для фиксированного  $|A_0(\text{Re}_{II})|$  максимальный инкремент  $\sigma_m(0)$  отвечает симметричным субгармоникам и при  $\xi \neq 0$  медленно уменьшается с увеличением отстройки  $\xi$ . Возмущение меньшей частоты ( $\xi > 0$ ) имеет больший инкремент. Ширина эффективно возбуждаемой частотной полосы увеличивается с ростом интенсивности волны накачки  $|A_0(\text{Re}_{II})|$ . Можно заключить, что большая ширина резонанса способствует возбуждению резонансных частот в широком диапазоне спектра.

Полученные результаты позволяют интерпретировать экспериментальные данные [10], где в пограничном слое пластины возбуждались волны: двумерная частоты  $\omega_0$  и пары симметричных трехмерных частот  $\omega_1 < \omega_0$  ( $F_0 = 88 \cdot 10^{-6}$ ,  $F_1 = 39,5 \cdot 10^{-6}$ ) с начальными интенсивностями порядка 0,1 %. Вниз по потоку наблюдался широкий набор НЧ пространственных мод, уровень интенсивности которых достигал уровня индуцированных. На начальном этапе доминирующими являлись, кроме индуцированных  $\omega_0$  и  $\omega_1$ , также волны частот  $2\omega_1$  и  $\omega_0 - \omega_1$ . Отмечалась трансформация первоначально двумерной волны частоты  $2\omega_1$  в трехмерную в области  $\text{Re} \gtrless \text{Re}_{II}$ . Установлено, что НЧ пространственные моды находились в синхронизме с доминирующими  $\omega_1$  и  $2\omega_1$ . Последние, как утверждается в [10], являлись главными передатчиками энергии к низким частотам.

Объяснить указанные результаты эксперимента можно в рамках развитых выше представлений. Согласно им, введение плоского колебания частоты  $\omega_0$  и трехмерного частоты  $\omega_1 < \omega_0$  прежде всего должно привести к выделению из затравочных фоновых колебаний резонансных пространственных мод  $\omega_7 = \omega_0/2$ ,  $\omega_3 = \omega_0 - \omega_1$ , а также плоской моды  $\omega_2 = 2\omega_1$  вследствие нелинейного взаимодействия в симметричном триплете  $(\omega_1, \alpha_1, \beta_1) + (\omega_1, \alpha_1, -\beta_1) = (2\omega_1, \alpha_2, 0)$ . Это положит начало процессу каскадного возбуждения резонансных частот  $\omega_4 = \omega_2 - \omega_3$ ,  $\omega_5 = \omega_0 - \omega_4$ ,  $\omega_6 = \omega_2 - \omega_5$  и т. д.

Результаты расчета амплитуд соответствующей многоволновой системы представлены на рис. 4. Сравнения с экспериментом [10] подтверждают справедливость предложенной модели. На начальном этапе  $\text{Re} \leq 1250$  доминируют моды с частотами  $\omega_0$ ,  $\omega_1$ ,  $\omega_2$  и  $\omega_3$ , причем интенсивности  $|A_2|$ ,  $|A_3|$  резонансно возбуждаемых из фона волн частот  $\omega_2$ ,  $\omega_3$  в этой области практически не связаны с их начальными значениями ( $|A_2(x_0)|$ ,  $|A_3(x_0)| \leq 10^{-4}$ ). В области  $\text{Re} \geq 1350$  интенсивности  $|A_j|$  возбуждаемых на частотах  $\omega_j$  ( $j = 4-6$ ) волн достигают уровня индуцированных и совпадают с полученными в эксперименте. Интенсивность субгармоники ( $j = 7$ ) оказывается заметно меньшей, что также согласуется с данными [10].

Подчеркнем, что обнаруженное в эксперименте уменьшение скоростей роста колебаний при увеличении частотной расстройки  $\omega_0 - \omega_1$  пол-

ностью соответствует представлению о том, что максимум взаимодействия осуществляется в субгармонических (симметричных) триадах (см. рис. 3) [7]. В условиях же парных взаимодействий скорость нарастания биений определяется индивидуальными параметрами связанных волн. Отметим, что в этой модели речь идет о резонансном возбуждении собственных Т — Ш волновых возмущений.

Генерация колебания  $\omega_n$  ( $n$ -й ступени каскада) не сопряжена в случае резонанса с повышением порядка взаимодействия:  $A(\omega_n) \sim \varepsilon A$ . В то же время для нелинейных гармоник (биений) вместе с увеличением их номера  $n$  должно иметь место возрастание порядка:  $A(\omega_n) \sim (\varepsilon A)^n$  ( $n \geq 2$ ), чего не наблюдалось в [10].

Конкурентоспособный вклад «нерезонансных» колебаний в спектр возмущений может быть внесен только биениями исходных волн ( $\omega_0, \omega_1$ ), описываемыми функцией  $\Psi$  в квадратичном порядке теории. Поведение амплитуды несобственной трехмерной волны ( $2\omega_1, 2\alpha_1, +2\beta$ ) представлено штриховой линией на рис. 4. Как видно, в области  $Re \geq 1350$  эта трехмерная волна превосходит по интенсивности плоскую волну частоты  $2\omega_1$  (кривая 2), что и объясняет результаты [10].

Расчеты показали, что двумерная волна частоты  $2\omega_1$  играет важную роль в процессе передачи энергии в низкие частоты. В нашей модели все НЧ-волны параметрически связаны с двумя плоскими  $\omega_0$  и  $\omega_1$ . Как видно из поведения фаз на рис. 5, связь с  $\omega_2$  определяющая. Фазы  $\Phi_3 = \varphi_2 - 2\varphi_1, \Phi_4 = \varphi_2 - \varphi_3 - \varphi_4, \Phi_5 = \varphi_2 - \varphi_5 - \varphi_6$  (кривые 3—5) демонстрируют нелинейный синхронизм НЧ-возмущений с фазой  $\varphi_2$  (локализация фаз) в отличие от поведения фаз  $\Phi_1 = \varphi_0 - \varphi_3 - \varphi_6, \Phi_2 = \varphi_0 - \varphi_4 - \varphi_5$  (кривые 1, 2), где такого синхронизма с  $\varphi_0$  не наблюдается. Особая роль волны частоты  $\omega_2$  подчеркнута в [10].

Характер кривых на рис. 4 свидетельствует, что в процессе передачи энергии в низкие частоты стабилизации роста амплитуд не происходит. Возбуждение последующих колебаний  $\omega_n$  слабо сказывается на поведении волны частоты  $\omega_{n-1}$ , что позволяет считать поведение приведенных кривых инвариантным относительно дальнейшего увеличения ступеней каскада.

Данная работа показала, что в рамках слабонелинейной теории находит объяснение процесс заполнения спектра, предшествующий переходу. С ростом интенсивности происходят как резонансное возбуждение низких частот, так и генерация высокочастотных пространственных гармоник [11]. Этот процесс, однако, не ведет непосредственно к стохастизации движения, так как сохраняет неизменным рост интенсивностей и фазовую синхронизацию возмущений. Механизм стабилизации последних, по-видимому, обусловлен существенно нелинейной генерацией высших гармоник, транспортом и диссипацией энергии в области высокочастотной части спектра.

#### ЛИТЕРАТУРА

1. Качанов Ю. С., Козлов В. В., Левченко В. Я. Нелинейное развитие волны в пологранничном слое // Изв. АН СССР. МЖГ.— 1977.— № 3.
2. Kachanov Yu. S., Levchenko V. Ya. The resonant interaction of disturbances at laminar-turbulent transition in a boundary layer // J. Fluid Mech.— 1984.— V. 138, N 1.
3. Saric W. S., Thomas A. S. W. Experiments on the subharmonic route to turbulence in boundary layers // Turbulence and Chaotic Phenomena in Fluids.— Amsterdam: North-Holland, 1984.
4. Corke T. C., Mangano R. A. Resonant growth of three-dimensional modes in transitioning Blasius boundary layers // J. Fluid Mech.— 1989.— V. 209, N 1.
5. Yan Dachun, Zhu Qiankan, Yu Dacheng et al. Resonant interaction of Tollmien —

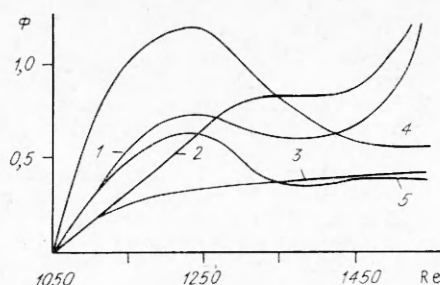


Рис. 5

- Schlichting waves in the boundary layer on a flat plate // Acta Mech. Sinica.— 1988.— V. 4, N 2.
6. Зельман М. Б. О нелинейном развитии возмущений в плоскопараллельных потоках // Изв. СО АН СССР. Сер. техн. наук.— 1974.— № 13, вып. 3.
  7. Зельман М. Б., Масленникова И. И. О формировании пространственной структуры субгармонического режима перехода в потоке Блазиуса // Изв. АН СССР. МЖГ.— 1989.— № 3.
  8. Зельман М. Б., Масленникова И. И. Об эффектах резонансных взаимодействий волновых возмущений в пограничном слое // Изв. АН СССР. МЖГ.— 1984.— № 4.
  9. Зельман М. Б., Масленникова И. И. О резонансном взаимодействии пространственных возмущений в пограничном слое // ПМТФ.— 1985.— № 1.
  10. Corke T. C. Effect of controlled resonant interactions and mode detuning on turbulent transition in boundary layers // Laminar-Turbulent Transition.— Berlin et al: Springer-Verlag, 1990.
  11. Maslenikova I. I., Zelman M. B. On subharmonic-type laminar-turbulent transition in boundary layer // Laminar-Turbulent Transition.— Berlin et al: Springer-Verlag, 1985.

г. Новосибирск

Поступила 5/II 1991 г.

УДК 531/534

A. И. Весницкий, A. B. Метрикин

## ПЕРЕХОДНОЕ ИЗЛУЧЕНИЕ В ОДНОМЕРНЫХ УПРУГИХ СИСТЕМАХ

Развитие высокоскоростного наземного транспорта, а также увеличение скорости работы машин и механизмов резко повысили интерес к вопросам взаимодействия упругих конструкций с движущимися объектами (см., например, [1, 2]). Однако, несмотря на обилие работ, остаются фактически не изученными волновые процессы, возникающие в несущих конструкциях, в частности эффекты волнообразования и сопутствующий им эффект давления волн на движущийся объект [3]. Наиболее интересным с практической точки зрения является случай, когда конструкция существенно неоднородна. Равномерное движение объекта по такой конструкции сопровождается возбуждением упругих волн. Это явление по аналогии с впервые описанным в [4] применительно к электромагнитным волнам естественно называть переходным излучением.

В настоящей работе приводится общая постановка задачи о взаимодействии движущегося сосредоточенного объекта с неоднородной упругой направляющей [3]. Подробно исследуется равномерное движение тела по полубесконечной струне на упругом основании. Показано, что при движении тела вблизи области неоднородности (точки закрепления) в струне возникает переходное излучение, в процессе которого на тело действует сила давления волн со стороны струны. Получено выражение, связывающее работу этой силы и энергию излучения.

1. Рассмотрим одномерную упругую систему, движение которой определено в области  $D$ :  $\{\alpha \leq t \leq \beta, a \leq x \leq b\}$  и характеризуется функционалом Лагранжа

$$L = \int_a^b \lambda(x, t) dx,$$

где  $\lambda = \lambda(t, x, \mathbf{U}(x, t); U_t, U_x)$  — плотность функции Лагранжа;  $\mathbf{U}(x, t)$  — вектор обобщенных координат с компонентами  $U_1, U_2, \dots, U_n$ , в предположении, что при  $x = d$  ( $a < d < b$ ) происходит конечный скачок параметров этой системы (например, погонной плотности, упругости основания и т. п.).

Пусть вдоль упругой системы по некоторому закону  $x = l(t)$  движется сосредоточенный объект, характеризующийся функцией Лагранжа  $L^0 = L^0(t, \mathbf{y}(t), \dot{\mathbf{y}}, l(t), \dot{l})$  и вектором обобщенных координат с компонентами  $y_1, y_2, \dots, y_m$ .